

工形はりの塑性曲げ解析

広島大学 ○ 松尾 彰
同 棚代仁朗

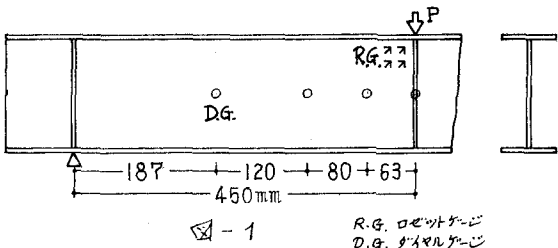
1. まえがき

有限要素法は、構造解析の分野において有力な手法の一つであり、その信頼性も高く評価されている。また、電子計算機の大型化、高速化等の進歩は更に改良され設計にも応用されるまでになつた。しかしながら、有限要素法も万能とはいえず、それを実用に供する際には、細心の注意が必要である。本研究では、平面板よりなる部材(図-1の如く中央集中荷重を受けるH形鋼はりとした。)を次の2点に注目し、その部材の弾塑性性状を解析し、実験結果との比較によりその有用性を調べてみる。
1. フランジ、スチフナ幅のモデル化の方法について
2. 縛り返し交番荷重の場合の弾塑性解析における材料剛性マトリックスの評価について。

2. 解析について

2.1 解析の概要

解析は通常の変位法による荷重漸増法を用いて行う。図-1に示すH形鋼について、ウェブは平面応力状態にあるとして三角形平板要素にて分割し、フランジおよびスチフナは、



i) 軸力のみに抵抗する棒要素 ii) 軸力と曲げに抵抗する棒要素 iii) フランジ、スチフナ幅を板厚とする三角形平板要素の3種類にモデル化した。また、縛り返し交番荷重を加える場合は、i)を採用した。

2.2 降伏条件および塑性化の判定

三角形平板要素は延性の富んだ材料で、Von Misesの降伏条件に従うものとする。また、曲げと軸力が同時に表わされるi)の場合については、次式を降伏曲面曲線とする。

$$H = \left(\frac{F_x}{F_{ox}}\right)^2 + \frac{M_z}{M_{oz}} - 1 = 0 \quad F_{ox} : \text{全断面降伏力}$$

$M_{oz} : \text{全塑性モーメント}$

また、各要素が次に塑性化するのに必要な荷重倍率の主なものは以下の式で与えられる。

(三角形平板要素)

$$r_1 = \frac{P + \sqrt{P^2 + 4(\Delta \bar{\sigma}_{ij}) \cdot (\bar{\sigma}_y^2 - \bar{\sigma}_x^2)}}{2(\Delta \bar{\sigma}_{ij})^2} \quad \text{ここで, } P = (\Delta \bar{\sigma}_{ij})^2 - 2\bar{\sigma}_x \bar{\sigma}_y - (\bar{\sigma})^2$$

(軸力と曲げを受ける棒要素)

$$r_2 = \frac{-P + \sqrt{P^2 + 4\left(\frac{F_x}{F_{ox}}\right) \cdot (1-h)}}{\left(\frac{F_x}{F_{ox}}\right)} \quad \text{ここで, } P = \left(\frac{F_x \cdot 4\bar{\sigma}_z}{F_{ox}}\right) + \left(\frac{\Delta M_z}{M_{oz}}\right)$$
$$h = \left(\frac{M_z}{M_{oz}}\right) + \left(\frac{F_x}{F_{ox}}\right)$$

これら r_1 , r_2 のうち、最小のものが次に塑性化すると考えられる。

2.3 各要素の剛性マトリックス

各要素の剛性マトリックスを表-1に示す。ただし、漸増荷重を受ける場合の材料の剛性マトリク

	$\text{三角形平板要素 } [K] = A \cdot ([N]^T \cdot [D] \cdot [N])$	$\text{棒要素 } [K] = [T]^T \cdot [\tilde{K}] \cdot [T]$
弹性状態	$[D_p] = \frac{E}{1-\nu^2} \begin{bmatrix} 1 & & \\ \nu & 1 & \\ 0 & 0 & \frac{1+\nu}{2} \end{bmatrix}$ S.Y.M.	$[\tilde{K}_e] = \begin{bmatrix} AE_L & & & \\ 0 & 12E_L/3 & & \\ 0 & -6E_L/2 & 4E_L & \\ -AE_L & 0 & 0 & AE_L \\ 0 & -12E_L/3 & 6E_L/2 & 0 & (12E_L/3) \\ 0 & -6E_L/2 & 2E_L/4 & 0 & 6E_L/2 & 4E_L \end{bmatrix}$ S.Y.M.
塑性状態	(等方硬化) $[D_p] = \frac{E}{Q} \begin{bmatrix} \bar{\sigma}_y + 2P & \\ -\bar{\sigma}_x \bar{\sigma}_y + 2UP, \bar{\sigma}_x + 2P & \\ -\bar{\sigma}_x + UP & \bar{\sigma}_y + UP \\ 1+\nu, & 1+\nu, & R & 2H(1+\nu)^2 \\ & & 2(1+\nu) & 9E \end{bmatrix}$	$[\tilde{K}_p] = [\tilde{K}_e] \cdot [I] - \begin{bmatrix} \phi_i & 0 \\ 0 & \phi_j \end{bmatrix} \begin{bmatrix} DRM_{iL} \\ DRM_{jL} \end{bmatrix}$
塑性状態	(初期硬化) $[D_p] = \frac{1}{P} \begin{bmatrix} 2(1+\nu)S_1^2 + 9T_1^2 & 2(1+\nu) \\ D & E & S.Y.M. \\ 2(1+\nu)S_1^2 + 9T_1^2 & 2(1+\nu)U & 2(1+\nu)S_1^2 + 9T_1^2 & 2(1+\nu) \\ D & E & D & E \\ 3(S_1 + S_2)T_1 & -3(S_1 + S_2)T_1 & Q & 1-U \\ D & T_1 & D & E \end{bmatrix}$	表-1 表-2

2.3 解析に用いた材料の機械的性質

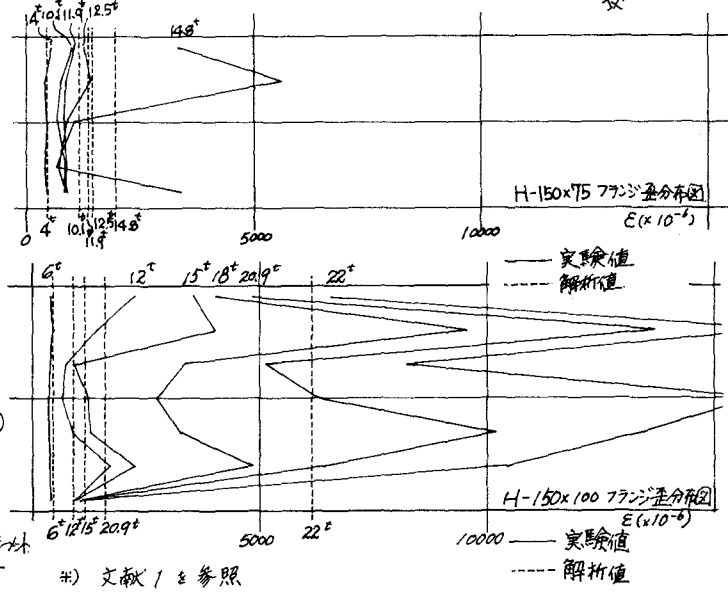
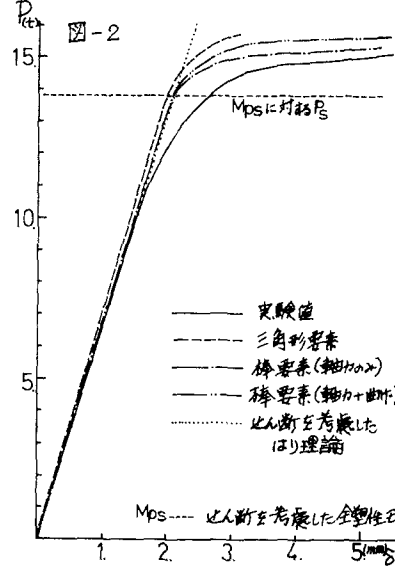
解析および実験に用いた素板の機械的性質を表-2に示す。

3. 解析結果及び実験結果との比較 3.1 漸増荷重の場合

各解析法による荷重-変位曲線を実験結果と共に図-2に示す。これからによれば、弾性域においては、どの解析法についても実験結果と良く合っているようである。また弾塑性域においてもやや高めではあるが比較的実験値に近い傾向を示しているといえよう。図-3は、試験体の

$$\begin{aligned} Q &= S_1^2 + 2HS_1S_2 + S_2^2 \\ S_1 &= \bar{\sigma}_x - \frac{1}{2}\bar{\sigma}_y, \quad S_2 = \bar{\sigma}_y - \frac{1}{2}\bar{\sigma}_x \\ D &= \frac{C}{4}(5\bar{\sigma}_x^2 - 8\bar{\sigma}_x\bar{\sigma}_y + 5\bar{\sigma}_y^2 + 36\bar{T}_1^2) \\ P &= 9\bar{T}_1^2/(1-\nu^2) + 2(H+D)Q \\ &\quad + \frac{2(1+\nu)(1-U^2)}{E^2} \\ \bar{\sigma}_x &= \sigma_x - \alpha_x, \quad \bar{\sigma}_y = \sigma_y - \alpha_y \\ \bar{T}_1 &= T_1 - \alpha_y \end{aligned}$$

図-3



フランジにおける垂分布図である。それによれば、H-150×75の垂分布は高荷重においても比較的一様であった。以上のことがら、細幅のフランジ単純軸力のみ分担させるようモデル化して解析しても、差支えないと推察される。

3.2 縮込に支番荷重の場合 H-150×75およびH-150×100の試験体について荷重-中央部変位曲線を図-4に示す。両試験体とも、降荷したあと、等方硬化によると解析値がやや高めに出ている。これは、等方硬化法則に基く解析が Bauschinger 効果を表わすことが難かしいことから予想できることであろう。また図-5には、各荷重段階におけるH形はりのたわみ形を実験値とともに示した。図では、はり中央部の変位を他の変位を正規化して示している。それによれば、最終的な段階においても、両試験体とともに移動硬化法則に基づくものは、実験結果のたわみ形を比較的良くあらわしているといえよう。図-6は、各解析により求まる応力に、実験においてロゼットゲージより而硬化法則に基づいて求めた応力を比較して示した。これによれば、応力は、少しずつ同一経路をたどって走っている誤りはなく、一方向の加工硬化の影響が完全に表われているとはいひ難いようである。

4. 結び 本論文は、平面板より組立てられた部材(H形鋼)を、フランジ、スチフナ等を、3種類のモデルに基づいて解析を行ない、実験値と比較した。その結果、比較的簡単な軸力部材への置換でも、比較的良い結果を得た。また、同様な2種の部材に中央集中荷重が正負交番に加わる場合について、等方硬化法則と、移動硬化法則に基く解析を行なった実験と比較し、解析法の特徴を比較した

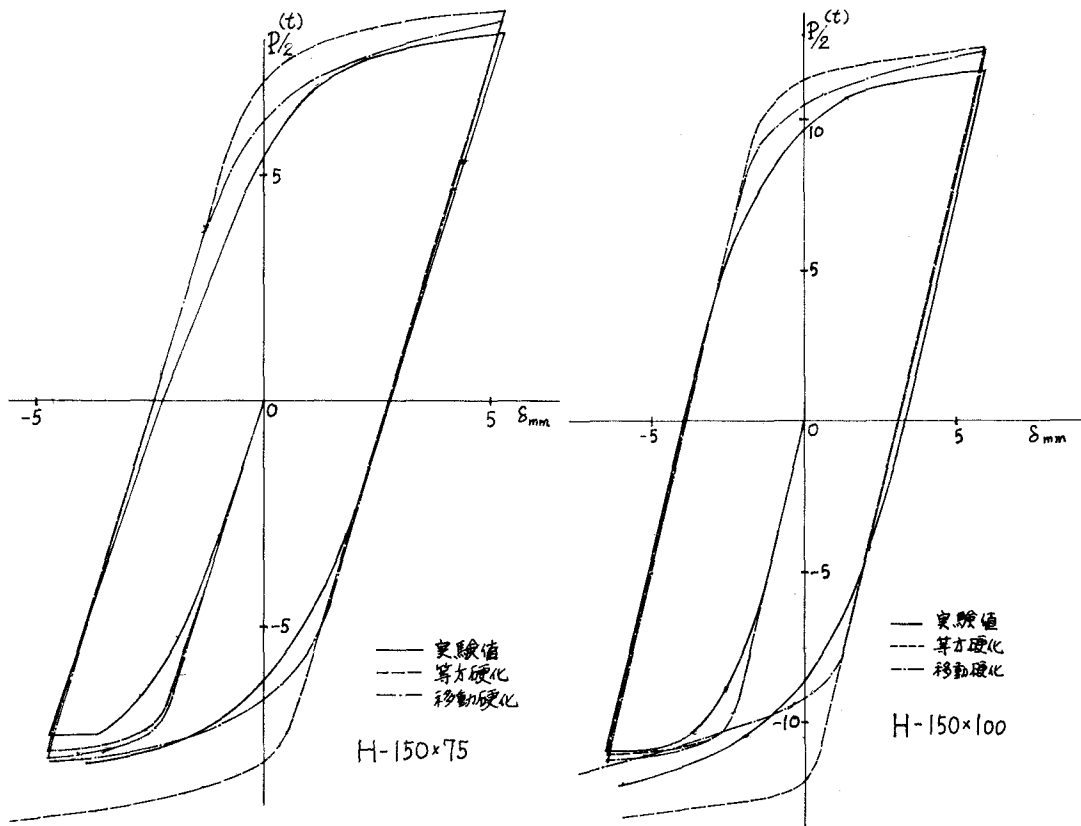


図-4

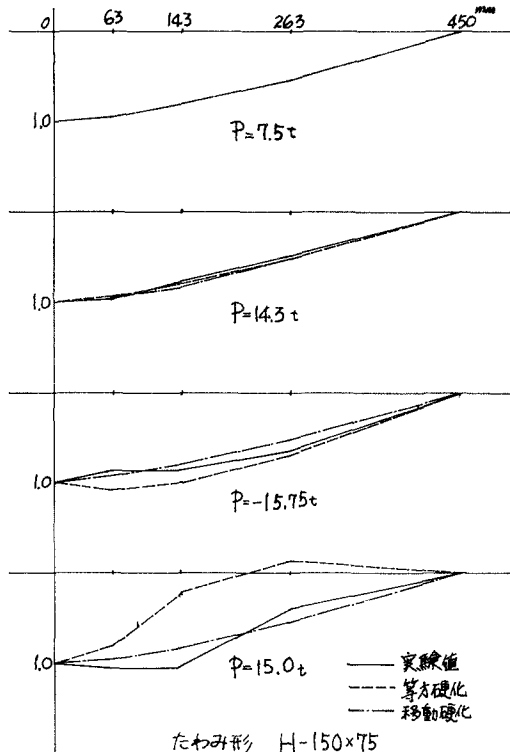


図-5 (a)

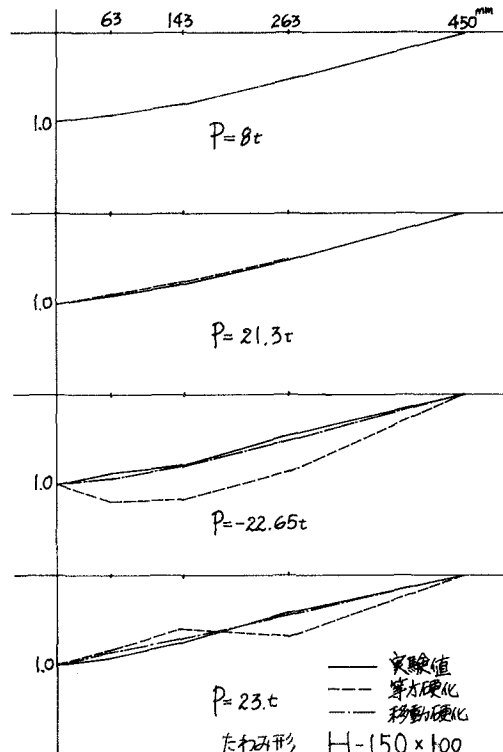


図-5 (b)

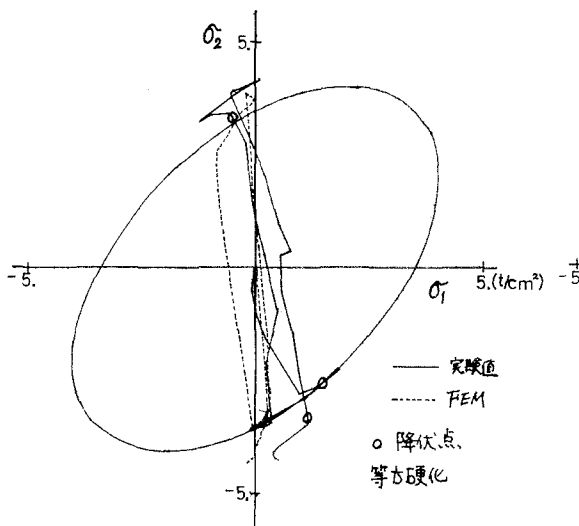


図-6 (a)

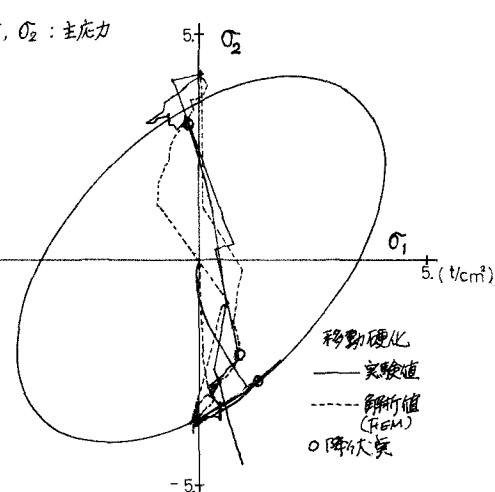


図-6 (b)

(文献)

1. 川端, 松尾, 棚代 : 有限要素法による形鋼屈筋の弾塑性曲げ応力解析法, 日本建築学会大会学術講演梗概集, 昭和47.10
2. 松尾, 棚代 : 錆造し荷重を受ける平面板の履歴特性解析について, 同上